

**Zeitschrift:** Bulletin de la Société Neuchâteloise des Sciences Naturelles  
**Herausgeber:** Société Neuchâteloise des Sciences Naturelles  
**Band:** 81 (1958)

**Artikel:** Quelques Strigeida (Trematoda) de la collection R.-Ph. Dollfus  
**Autor:** Dubois, Georges  
**DOI:** <https://doi.org/10.5169/seals-88882>

### **Nutzungsbedingungen**

Die ETH-Bibliothek ist die Anbieterin der digitalisierten Zeitschriften auf E-Periodica. Sie besitzt keine Urheberrechte an den Zeitschriften und ist nicht verantwortlich für deren Inhalte. Die Rechte liegen in der Regel bei den Herausgebern beziehungsweise den externen Rechteinhabern. Das Veröffentlichen von Bildern in Print- und Online-Publikationen sowie auf Social Media-Kanälen oder Webseiten ist nur mit vorheriger Genehmigung der Rechteinhaber erlaubt. [Mehr erfahren](#)

### **Conditions d'utilisation**

L'ETH Library est le fournisseur des revues numérisées. Elle ne détient aucun droit d'auteur sur les revues et n'est pas responsable de leur contenu. En règle générale, les droits sont détenus par les éditeurs ou les détenteurs de droits externes. La reproduction d'images dans des publications imprimées ou en ligne ainsi que sur des canaux de médias sociaux ou des sites web n'est autorisée qu'avec l'accord préalable des détenteurs des droits. [En savoir plus](#)

### **Terms of use**

The ETH Library is the provider of the digitised journals. It does not own any copyrights to the journals and is not responsible for their content. The rights usually lie with the publishers or the external rights holders. Publishing images in print and online publications, as well as on social media channels or websites, is only permitted with the prior consent of the rights holders. [Find out more](#)

**Download PDF:** 16.04.2026

**ETH-Bibliothek Zürich, E-Periodica, <https://www.e-periodica.ch>**

# QUELQUES *STRIGEIDA* (*TREMATODA*) DE LA COLLECTION R.-PH. DOLLFUS

par

**GEORGES DUBOIS**

AVEC 7 FIGURES

---

C'est à l'occasion du « Symposium sur la spécificité parasitaire et l'évolution parallèle entre parasites et hôtes », à Neuchâtel (1957), que M. Robert-Ph. DOLLFUS eut l'amabilité de nous confier une petite collection de *Strigeida* de provenances diverses, dont certains furent recueillis par lui-même en France et au Maroc, tandis que d'autres lui furent envoyés par MM. L. BALOZET (à Gafsa), Camille DESPORTES (en Camargue) et le Dr René ROUSSELOT, directeur du laboratoire du Service vétérinaire de Brazzaville (Moyen-Congo).

Nous remercions M. DOLLFUS de nous avoir favorisé en nous permettant de compléter l'étude de plusieurs parasites, en particulier ceux du continent africain, à la connaissance desquels il a contribué un des premiers par sa publication dans les *Annales du Musée du Congo belge* (C.-Zoologie. Sér. V, vol. I, fasc. 1, 1950).

Cette collection de *Strigeida* comprend les dix espèces suivantes :

*Strigea falconis* Szidat 1928

*Parastrigea intermedia* Tubangui 1932

*Cotylurus hebraicus* Dubois 1934

*Neodiplostomum accipitris* Dubois et Rausch 1948

*Neodiplostomum spathoides* Dubois 1937

*Neodiplostomum dollfusi* n. sp.

*Neodiplostomum rousseloti* n. sp.

*Posthodiplostomum bi-ellipticum* n. sp.

*Pseudoneodiplostomum thomasi* (Dollfus 1935)

*Prosostephanus natricis* n. sp.

**Familia STRIGEIDAE Railliet 1919**

*Strigea falconis* Szidat 1928

Trois exemplaires de ce Ver provenaient d'un *Circus aeruginosus* (L.) capturé en Camargue [Camille DESPORTES leg., 27. 8. 1946].

*Parastrigea intermedia* Tubanguui 1932

(Fig. 1)

Quelques exemplaires (dont un seul bien conservé) ont été recueillis dans l'intestin d'un *Circus aeruginosus* (L.) capturé en Camargue [Camille DESPORTES leg., 27. 8. 1946]. La morphologie du parasite se rapporte exactement à la description que BYCHOWSKAJA-PAWLOWSKAJA (1953) donne de son *Apharyngostrigea intermedia* en provenance du même hôte. Le pharynx est indiscernable.

Longueur totale, jusqu'à . . . 5,95 mm  
 Segment antérieur piriforme . . . 2,10/0,98 mm  
 Segment postérieur claviforme 3,85/1,19  
 Rapport : segm. post./segm. ant. = 1,83

Diamètres :

ventouse buccale . . . . .	105-110/120 $\mu$
ventouse ventrale . . . . .	120-145/167
ovaire . . . . .	190/320
testicules . . . . .	610-730/1160
œufs . . . . .	94-99/57-66
	(moyenne : 96/62)
glande protéolytique . . . . .	140-190/85-95
	(à grand axe longitudinal)

Situation dans le segment antérieur :

ventouse ventrale . . . . .	20-30/100
glande protéolytique . . . . .	77-85/100

Les testicules sont situés dans la seconde moitié du segment postérieur, dont ils déterminent la largeur maximum. La bourse copulatrice, peu profonde (180  $\mu$ ), est légèrement délimitée. Les glandes vitellogènes ne pénètrent pas dans ses parois (la distance des derniers follicules à l'extrémité postérieure du corps égale 245 à 275  $\mu$ ). Ces glandes constituent deux amas

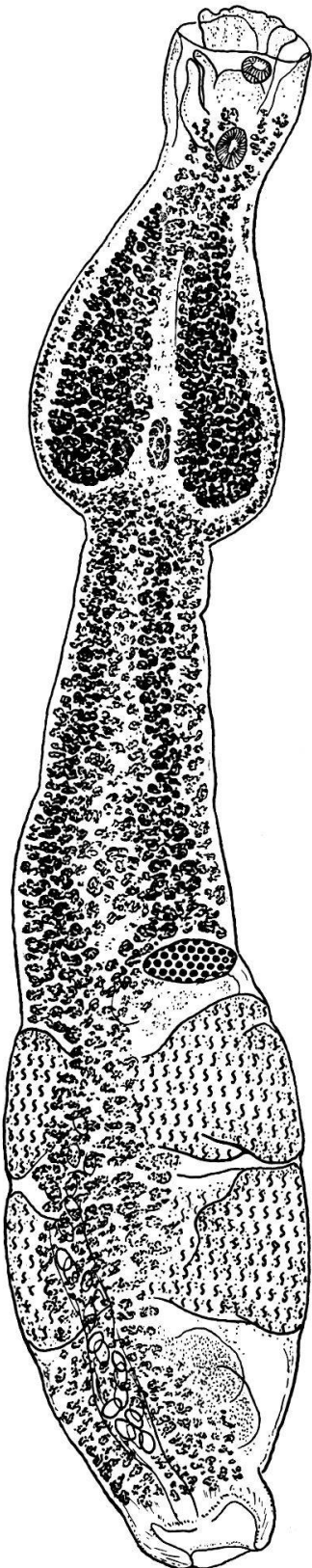


Fig. 1. *Parastrigea intermedia* Tub., de *Circus aeruginosus* (L.).  
 Longueur : 5,95 mm.

virguliformes dans le segment antérieur, ce qui justifie l'attribution du parasite au genre *Parastrigea* Szid.

Deux exemplaires jeunes et macérés ont été récoltés dans un *Circus pygargus* (L.) à Banyuls-sur-Mer (Pyrénées orientales) [R.-Ph. DOLLFUS leg., 15. 4. 1953].

*Cotylurus hebraicus* Dubois 1934

(Fig. 2)

Cinq exemplaires de ce Ver ont été récoltés dans l'intestin d'un *Gallinula chloropus* (L.) à Richelieu (Indre et Loire) [4. 8. 1955]. L'espèce est caractérisée par l'existence de quelques follicules vitellogènes dans le segment antérieur.

Les testicules sont convexes antérieurement, trilobés en arrière, à lobes à peine plus longs que larges, comme chez *Cotylurus cornutus* (Rud.) [cf. DUBOIS et RAUSCH 1950 b, p. 34, fig. 10] et chez *C. brevis* Dub. et Rsch. [cf. DUBOIS et RAUSCH 1950 a, p. 9-10, fig. 6 et 7], tandis qu'ils sont beaucoup plus allongés chez *C. erraticus* (Rud.) [syn. *C. aquavis* Gub., cf. DUBOIS et RAUSCH 1950 a, p. 5, fig. 4].

Longueur totale : 2-2,4 mm

Segment antérieur :

longueur 0,66-0,79 mm

largeur 0,73-0,79

Segment postérieur :

longueur 1,40-1,62

largeur 0,60-0,64

Diamètres :

ventouse buccale . . . . .	98-120/84-108 $\mu$
pharynx . . . . .	42-45 (ou 47/37)
ventouse ventrale . . . . .	120-157/157-165
ovaire . . . . .	127-157/180-190
testicule antérieur . . . . .	275-320/350-420
testicule postérieur . . . . .	275-370/365-435
œufs . . . . .	86-94/57

Nombre d'œufs dans l'utérus : 10 à 27

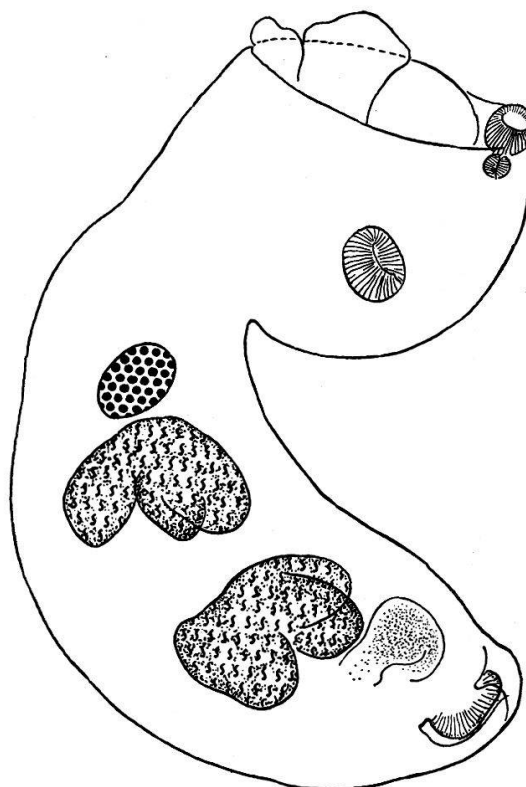


Fig. 2. *Cotylurus hebraicus* Dub., de *Gallinula chloropus* (L.). Longueur : 2,06 mm. Schéma des organes génitaux.

## Familia DIPLOSTOMATIDAE Poirier 1886

### *Neodiplostomum (Conodiplostomum) accipitris* Dubois et Rausch 1948

Quatre exemplaires jeunes et mal conservés de ce Ver proviennent de l'intestin d'un *Accipiter nisus* (L.) capturé à Banyuls-sur-Mer (Pyrénées orientales) [R.-Ph. DOLLFUS leg., 14. 4. 1953]. Nous les rapportons à *N. (C.) accipitris* en raison des caractères suivants : longueur du corps 1,10-1,45 mm ; segment postérieur plus étroit que l'antérieur ; rapport de leurs longueurs 0,40-0,53 ; ovaire situé au début du segment postérieur ; diamètre transversal des testicules symétriquement développés 165-185  $\mu$  ; diamètre de la ventouse buccale 37  $\mu$  ; longueur du pharynx 31-37  $\mu$  ; limite antérieure des follicules vitellogènes et situation de la ventouse ventrale aux 29/100 et aux 43-44/100 du premier segment, respectivement.

Il s'agirait de la première mention de cette espèce en Europe.

### *Neodiplostomum (Neodiplostomum) spathoides* Dubois 1937

Un exemplaire a été recueilli dans l'intestin d'un *Circus pygargus* (L.) à Banyuls-sur-Mer (Pyrénées orientales) [R.-Ph. DOLLFUS leg., 15.4.1953].

### *Neodiplostomum dollfusi* n. sp.

(Fig. 3)

Deux exemplaires non ovigères de ce Néodiplostome, provenant de l'intestin d'un *Neotis cafra* (Licht.), ont été récoltés à Brazzaville par le Dr René ROUSSELOT [envoi du 4. 11. 1954].

Le Ver, nettement bisegmenté, mesure 3,43 mm<sup>1</sup>. Le segment antérieur (2,06-2,20/1-1,19 mm), à cuticule armée de minuscules épines, est cochléariforme, de contour elliptique, 1½ fois plus long que le segment postérieur (1,35-1,37/0,84 mm) ovoïde, dont il est séparé par une constriction bien marquée. L'organe tribocytique, de contour elliptique, s'ouvre par une fente médiane. Le pharynx est plus musculéux que la ventouse buccale, elle-même subégale à la ventouse ventrale située à mi-longueur du segment antérieur, ou un peu plus petite que celle-ci. Les caeca atteignent presque le niveau du pore sexuel.

L'ovaire, réniforme, médian ou submédian, se situe tout au début du second segment, dont les testicules symétriquement développés occupent les 2<sup>e</sup>, 3<sup>e</sup>, 4<sup>e</sup> et 5<sup>e</sup> neuvièmes ; le dernier tiers correspond à la zone de l'atrium génital dont la large ouverture mesure 330/240  $\mu$ . Le pore sexuel est à 105-135  $\mu$  de l'extrémité postérieure.

Les follicules vitellogènes, à densité maximum au niveau et en arrière de l'organe tribocytique, s'étendent bien au delà de la ventouse ven-

<sup>1</sup> Les deux exemplaires ont la même longueur.

trale, presque jusqu'à la bifurcation intestinale ; dans le segment postérieur, ils se limitent à un ruban ventral dans la zone des testicules pour constituer, en arrière de ceux-ci, deux amas latéraux qui atteignent l'extrémité postérieure du corps. Le réservoir vitellin est intertesticulaire.

Rapport : segm. post./segm. ant. = 0,61-0,66

Diamètres :

ventouse buccale . . . . .	110-135/130-135 $\mu$
pharynx . . . . .	94-115/86-94
ventouse ventrale . . . . .	115-148/120-162
organe tribocytique . . . . .	470-480/370-400
ovaire . . . . .	170-200/340-350
testicule antérieur . . . . .	300-320/640
testicule postérieur . . . . .	290-320/610
caeca . . . . .	28-40

Longueur de l'œsophage 100-110  $\mu$

Distance du bord postérieur de la ventouse ventrale au bord antérieur de l'organe tribocytique . . . . . 230-360  $\mu$

Distance du bord frontal de l'atrium génital à l'extrémité postérieure du corps 360-420  $\mu$

Situation dans le segment antérieur :

limite des follicules vitellogènes . . . . .	22-24/100
ventouse ventrale . . . . .	48-51/100

Situation dans le segment postérieur :

ovaire . . . . .	5-9/100
bord postérieur du second testicule . . . . .	56/100
bord frontal de l'atrium génital . . . . .	69-74/100

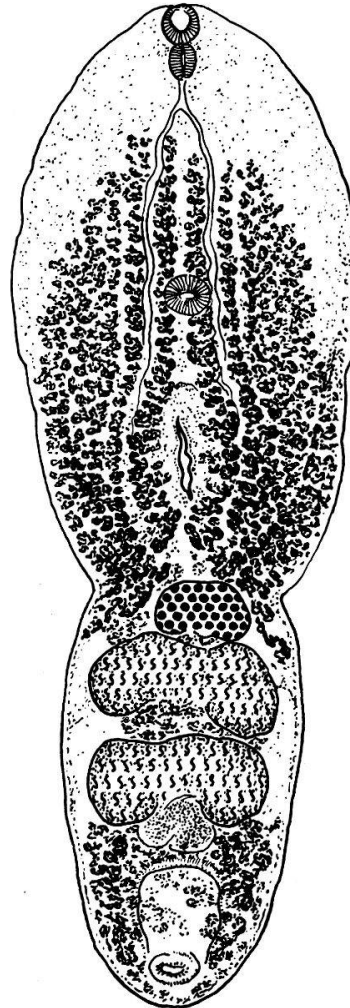


Fig. 3. *Neodiplostomum dollfusi* n. sp., de *Neotis cafra* (Licht.). Longueur: 3,43 mm. Vue dorsale.

Par leur grandeur, ces deux exemplaires se distinguent des autres Néodiplostomes à testicule antérieur symétriquement développé, à l'exception de *Neodiplostomum laruei* Vidyarthi, qui atteint des dimensions comparables (2,5-3,8 mm). Chez celui-ci, le segment postérieur est presque aussi long que l'antérieur ; la ventouse ventrale est située « at the end of anterior-third of forebody » ; le pharynx est plus long que la ventouse buccale ; enfin l'hôte est un Accipitriforme, *Sarcogyps calvus* (Scop.).

*Neodiplostomum roussetoti* n. sp.

(Fig. 4)

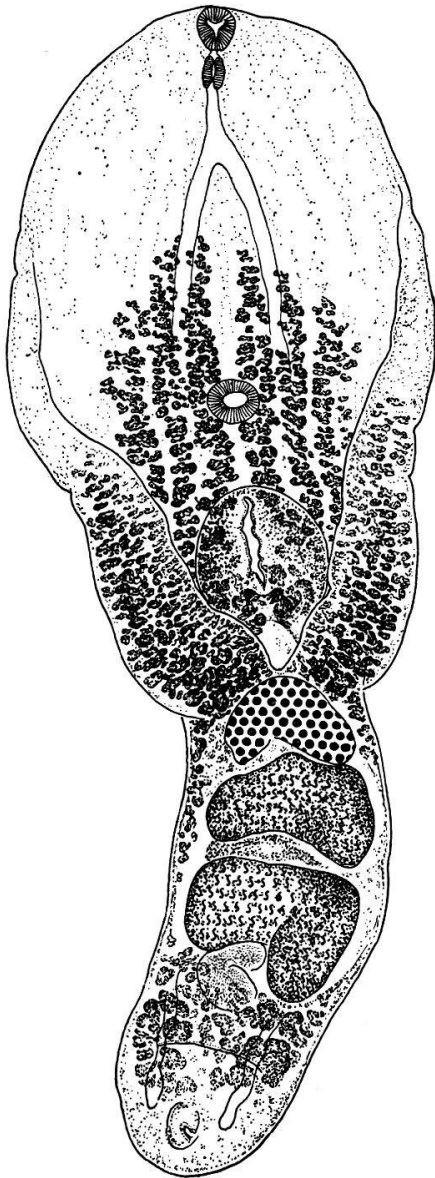


Fig. 4. *Neodiplostomum roussetoti* n. sp., de *Strix woodfordi nuchalis* (Sharpe). Longueur : 2,4 mm. Vue ventrale.

Un seul exemplaire non ovigère a été recueilli dans l'intestin grêle d'un *Strix woodfordi nuchalis* (Sharpe) capturé à Brazzaville [René ROUSSELOT leg., janvier 1956].

Le Ver, nettement bisegmenté, mesure 2,4 mm. Le segment antérieur cochléariforme, de contour elliptique à piriforme, long de 1,43 mm, a sa largeur maximum (0,89 mm) au-devant de la ventouse ventrale. Le segment postérieur (0,97/0,45 mm) est plus court, cylindrique, légèrement recourbé vers la droite par suite du plus grand développement des gonades du côté gauche. L'atrium génital en occupe le dernier quart.

L'organe tribocytique circulaire, situé assez en arrière, s'ouvre par une fente médiane. La ventouse ventrale est un peu plus développée que la ventouse buccale, elle-même plus grande que le pharynx. L'œsophage est assez long, et les caeca s'allongent jusqu'au niveau du pore génital.

Les gonades occupent les trois premiers cinquièmes du segment postérieur. L'ovaire, réniforme et médian, se situe au début du segment ; son lobe gauche est plus développé que le droit. La même asymétrie affecte les testicules, en particulier le second qui est plus grand que le premier.

Les follicules vitellogènes s'accumulent principalement dans le segment antérieur, autour de l'organe tribocytique d'où ils remontent jusqu'à mi-distance entre l'acetabulum et le pharynx. Ils sont plus rares dans le segment postérieur, où ils forment deux amas subterminaux dans la zone de l'atrium génital. Le réservoir vitellin est intertesticulaire.

Rapport : segm. post./segm. ant. = 0,68

Diamètres :

ventouse buccale . . . . .	90/84 $\mu$	ventouse ventrale . . . . .	84/112
pharynx . . . . .	78/56	organe tribocytique . . . . .	240
		ovaire . . . . .	160/255

testicule antérieur . . . . .	}	lobe droit	120
		lobe gauche	200
testicule postérieur . . . . .	}	lobe droit	180
		lobe gauche	270
caeca . . . . .			20-45
Longueur du prépharynx . . . . .			13
de l'œsophage . . . . .			100-130
Distance du bord postérieur de la ventouse ventrale au bord antérieur de l'organe tribocytique . . .			135 $\mu$
Distance du bord frontal de l'atrium génital à l'extré- mité postérieure du corps . . . . .			240 $\mu$
Situation dans le segment antérieur :			
limite des follicules vitellogènes . . . . .			33/100
ventouse ventrale . . . . .			57/100
bord antérieur de l'organe tribocytique . . . . .			70/100
centre de l'organe tribocytique . . . . .			78/100
Situation dans le segment postérieur :			
ovaire . . . . .			9/100
bord postérieur du second testicule . . . . .			60/100
bord frontal de l'atrium génital . . . . .			76/100

Cette espèce, que nous dédions au Dr René ROUSSELOT, a quelque ressemblance avec *Neodiplostomum cochleare* (Krause 1914) et plus particulièrement avec sa variété *japonicum* Dubois 1938, décrite par YAMAGUTI (1935, p. 177-178, fig. 15) sous le nom de *N. cochleare* Kr. (hôte : *Asio otus* L.). Comme chez cette dernière, et contrairement à ce qu'on observe pour l'espèce africaine de KRAUSE, le pharynx est plus petit que la ventouse buccale, mais l'ovaire est situé plus en avant, et les trois gonades sont plus développées du côté gauche ; de plus, les glandes vitellogènes n'outrepassent pas la mi-distance entre l'acetabulum et le pharynx.

*Posthodiplostomum bi-ellipticum* n. sp.

(Fig. 5)

Deux exemplaires ont été recueillis dans l'intestin grêle d'un *Buto-rides striatus atricapillus* (Afzel.) capturé à Brazzaville [René ROUSSELOT leg., mars 1956].

Le corps est divisé par une forte constriction transversale en deux segments d'égale longueur, le premier elliptique, le second ovoïde.

Longueur totale . . . . .	1,19-1,23 mm
Segment antérieur . . . . .	0,63-0,66/0,53-0,56 mm
Segment postérieur . . . . .	0,61-0,65/0,40-0,44
Rapport : segm. post./segm. ant. . . . .	= 0,93-1,03

Les deux ventouses ont mêmes dimensions. L'organe tribocytique, allongé transversalement, n'a pas une forme définie ; ils'ouvre par une fente irrégulière. La glande protéolytique est très développée, bilobée, réniforme.

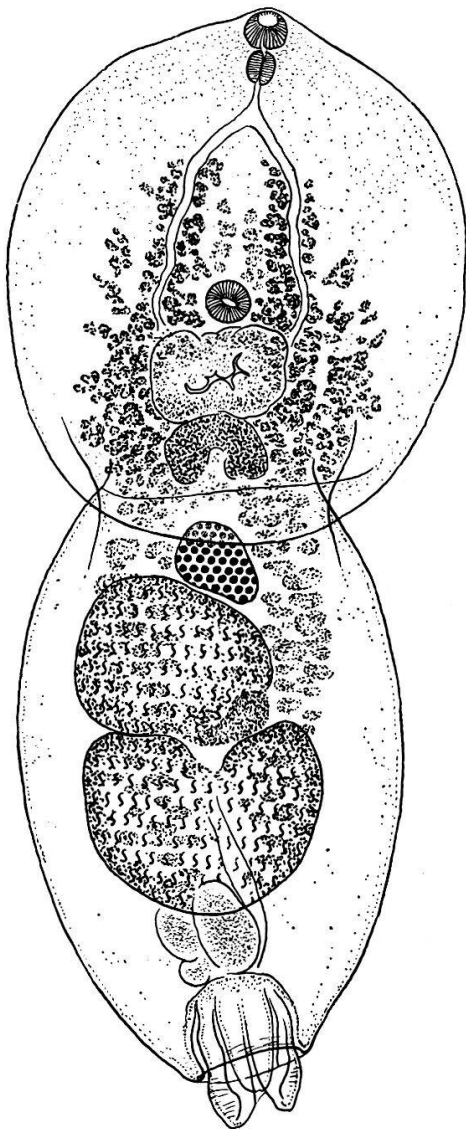


Fig. 5. *Posthodiplostomum bi-ellipticum* n. sp., de *Butorides striatus atricapillus* (Afzel.). Longueur : 1,23 mm. Vue ventrale.

L'ovaire, médian à submédian, est piriforme, orienté obliquement et tangent au premier testicule qui est ellipsoïde. Le second testicule est réniforme à cordiforme, concave antérieurement.

Les glandes vitellogènes sont distribuées dans les deux segments. Dans le segment antérieur, les follicules ont une densité plus forte ; dans le second segment, ils se localisent ventralement dans le champ des glandes génitales, jusqu'au bord postérieur du deuxième testicule. Le réservoir vitellin est intertesticulaire, submédian, dans le champ même de l'ovaire.

Diamètres :

ventouse buccale . . . . .	47-50/50-55 $\mu$
pharynx . . . . .	36-40/36
ventouse ventrale	47/55
organe	
tribocytique . . . . .	105-115/157
glande	
protéolytique . . . . .	75-85/120-135
ovaire . . . . .	63-85/105
testicule antérieur . . . . .	170-180/225-235
testicule postérieur . . . . .	175-200/235-265
bourse copulatrice . . . . .	160/120-135
œuf (un seul) . . . . .	78/56
Longueur	
de l'œsophage . . . . .	25-45 $\mu$
Diamètre	
des caeca . . . . .	16-19

Situation dans le segment antérieur :

limite des follicules vitellogènes . . . . .	30-32/100
ventouse ventrale . . . . .	55/100
bord antérieur de l'organe tribocytique . . . . .	60-61/100

Situation dans le segment postérieur :

ovaire . . . . .	14-17/100
bord postérieur du second testicule . . . . .	70-75/100

L'espèce est voisine de *Posthodiplostomum nanum* Dub., dont elle se distingue par sa taille plus grande, l'égalité de longueur et la forme des deux segments du corps, par les dimensions plus petites du pharynx relativement à la ventouse buccale, et par la distribution géographique.

**Familia PROTERODIPISTOMATIDAE Dubois 1936**

*Pseudoneodiplostomum thomasi* (Dollfus 1935)

Cinq exemplaires ovigères ont été récoltés dans l'intestin grêle d'un Crocodile (espèce non déterminée) [N<sup>o</sup> 28] par le Dr René ROUSSELOT, à Brazzaville.

Longueur totale . . . . .	2,53-2,95 mm
Segment antérieur . . . . .	1,34-1,65/0,61-0,77 mm
Segment postérieur . . . . .	1,12-1,30/0,44-0,53
Rapport : segm. post./segm. ant. . . . .	= 0,79-0,95

Diamètres :

ventouse buccale . . . . .	73-78 $\mu$
pharynx . . . . .	55-60/51-57
ventouse ventrale . . . . .	87-108/104-115
organe tribocytique . . . . .	440-470/210-245
ovaire . . . . .	127-140/160-210
testicule antérieur . . . . .	245-275/360-430
testicule postérieur . . . . .	285-320/375-400
œufs . . . . .	99-115/70-78
Longueur du prépharynx . . . . .	0-25 $\mu$
de l'œsophage . . . . .	75-110
Longueur et diamètre du cône génital. . . . .	140-170/100-105 $\mu$
Distance du bord postérieur de la ventouse ventrale au bord antérieur de l'organe tribocytique . . . . .	130-165 $\mu$
Situation dans le segment antérieur :	
limite des follicules vitellogènes . . . . .	44-47/100
ventouse ventrale . . . . .	49-53/100
bord antérieur de l'organe tribocytique . . . . .	56-65/100
Situation dans le segment postérieur :	
ovaire . . . . .	7-19/100
bord antérieur du 1 <sup>er</sup> testicule . . . . .	10-23/100
bord postérieur du 2 <sup>e</sup> testicule . . . . .	51-67/100

**Familia CYATHOCOTYLIDAE Poche 1925**

*Prosostephanus natricis* n. sp.

(Fig. 6 et 7)

Cinq exemplaires de ce Ver ont été récoltés dans l'intestin d'une Couleuvre vipérine, *Natrix maura* (L.), à Gafsa (Tunisie), en 1936 [L. BALOZET leg.].

Le corps est naviculaire, concave ventralement et ovale, à largeur maximum au niveau de l'organe tribocytique, largement arrondi en arrière ou prolongé par un petit appendice à l'extrémité duquel s'ouvre

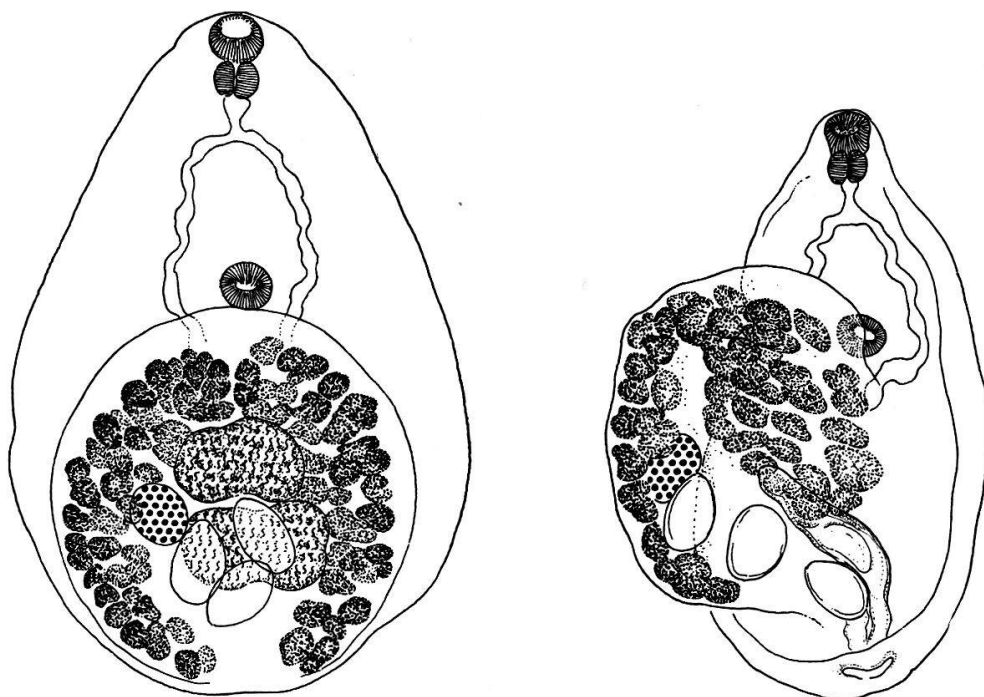


Fig. 6. *Prosostephanus natricis* n. sp., de *Natrix maura* (L.). Longueur : 1 mm. Vue ventrale.

Fig. 7. *Prosostephanus natricis* n. sp., de *Natrix maura* (L.). Longueur : 0,85 mm. Vue ventro-latérale (organe tribocytique à l'état de protrusion).

le pore génital. Sa concavité abrite un organe tribocytique circulaire, dans lequel se concentrent les follicules vitellogènes. Le bord frontal de cet organe, situé aux  $\frac{2}{5}$  de la longueur du corps, est tangent à l'aceta-bulum ou le recouvre. Les deux ventouses sont subégales. Le pharynx, plus petit, est plus large que long et conduit dans un court œsophage.

Les gonades apparaissent dans la couronne des follicules vitellogènes, centrées sur l'organe tribocytique. Les testicules, sphériques ou allongés transversalement, sont situés l'un devant l'autre. L'ovaire est latéral, dextre, à la hauteur de la moitié postérieure du premier testicule. La poche du cirre, qui lui est opposée, atteint le niveau intertesticulaire ou celui de l'ovaire. Les œufs sont grands et peu nombreux.

Longueur : 0,85-1,22 mm ; largeur : 0,69-0,73 mm

Diamètres :

ventouse buccale . . . . .	75-78/90-104 $\mu$
pharynx. . . . .	57-73/70-80
ventouse ventrale . . . . .	68-92/73-104
organe tribocytique . . . . .	500-610/550-560
ovaire. . . . .	80-88/110-115
testicules . . . . .	125-190/210-240 ou 170
follicules vitellogènes . . . . .	42-99/34-65
œufs . . . . .	110-130/70-78
	(moyenne : 122/74)

Longueur de l'œsophage . . . . .	40-45 $\mu$
Longueur et diamètre de la poche du cirre . . . . .	340/75 $\mu$
Nombre d'œufs dans l'utérus . . . . .	2 à 9
Situation par rapport à la longueur du corps :	
ventouse ventrale . . . . .	38-41/100
bord frontal de l'organe tribocytique . . . . .	37-44/100

L'attribution de ce Ver au genre *Prosostephanus* Lutz ne fait guère de doute. En effet, tandis que le type, *P. industrius* (Tubangui) et l'espèce congénérique *P. pagumae* (Faust et Tang) ont un organe tribocytique extrêmement développé et atteignant le niveau du pharynx ou de la ventouse buccale, celui de *P. natricis* est tangent à l'acetabulum (situé aux 2/5 de la longueur du corps) ou le recouvre. Par ailleurs, les caractères morphologiques de la nouvelle espèce correspondent à ceux du type générique : testicules en tandem, ovaire latéral dextre, œufs grands et peu nombreux. Seule la classe de l'hôte est différente.

L'inclusion de *T. natricis* dans le genre *Prosostephanus* oblige à y restituer le *Prosostephanus parvoviparus* Faust et Tang 1938, que nous avons attribué au genre *Duboisia* Szidat (cf. DUBOIS 1951, p. 660-661). Autant qu'on en peut juger par la description originale et la figure insuffisante qui l'accompagne, ce parasite de *Meles leptorhynchus* Milne-Edw. présente les mêmes caractères morphologiques, mais l'ovaire et les œufs sont beaucoup plus petits.

Ces remaniements systématiques nécessitent un amendement des clés de détermination et de la diagnose du genre *Prosostephanus*.

Clé de détermination des genres  
de la sous-famille des *Prosostephaninae* Szidat 1936

Testicules situés l'un devant l'autre, le premier seulement ou tous les deux dans la zone de l'organe tribocytique. Ovaire intertesticulaire, latéral (au niveau du bord postérieur ou de la deuxième moitié du premier testicule). Follicules vitellogènes confinés dans l'organe tribocytique. Parasites de Mammifères et de Serpents . . . . . *Prosostephanus*

Testicules opposés obliquement en arrière de l'organe tribocytique, dans lequel les follicules vitellogènes pénètrent (au moins en partie). Ovaire prétesticulaire, latéral (au-devant du second testicule). Parasites d'Oiseaux . . . . . *Duboisia*

Diagnose du genre **PROSOSTEPHANUS** Lutz 1935

(Syn. *Travassosella* Faust et Tang 1938)

*Prosostephaninae* à corps ovale ou piriforme, pouvant se prolonger par un petit appendice dorso-postérieur, à l'extrémité duquel s'ouvre le pore génital ; à bords incurvés ventralement et délimitant une vaste cavité occupée entièrement ou partiellement par l'organe tribocytique

massif, dont le bord frontal atteint le pharynx ou la ventouse buccale ou, au contraire, n'outrepasse pas la ventouse ventrale plus petite que cette dernière (ou absente<sup>1</sup>) ou subégale à elle. Gros follicules vitellogènes confinés entièrement dans l'organe tribocytique, avec les gonades (le testicule antérieur et l'ovaire en tout cas) qui s'y engagent plus ou moins complètement. Testicules ovoïdes à subsphériques, situés dorsalement l'un derrière l'autre et occupant presque toute la zone de l'organe tribocytique, la débordant parfois en arrière. Poche du cirre très développée, opposée à l'ovaire. Œufs généralement très grands et peu nombreux. Parasites de Mammifères et de Serpents.

Type : *Prosostephanus industrius* (Tub. 1922) [syn. *Prohemistomum industrium* Tub.].

Trois espèces congénériques : *P. pagumae* (Faust et Tang 1938) [syn. *Travassosella pagumae* Faust et Tang]; *P. parvoviparus* Faust et Tang 1938; *P. natricis* n. sp.

#### Clé de détermination des espèces

1. Organe tribocytique très développé, atteignant le pharynx ou la ventouse buccale. Parasites de divers Carnivores . . . . . 2
- Organe tribocytique moins développé, n'outrepassant pas (ou à peine) la ventouse ventrale (située entre les 3/10-4/10 de la longueur du corps) . . . . . 3
2. Présence d'une ventouse ventrale. Diamètre moyen du pharynx 135  $\mu$  . . . . . *P. industrius*
- Absence de ventouse ventrale. Diamètre moyen du pharynx 75  $\mu$  . . . . . *P. pagumae*
3. Longueur du Ver 0,85-1,20 mm. Œufs 110-130/70-78  $\mu$ . Parasite de la Couleuvre vipérine. Tunisie . . . . . *P. natricis* n. sp.
- Longueur du Ver 1,7-2 mm. Œufs 97/57  $\mu$ . Parasite de *Meles leptorhynchus* Milne-Edw. Chine. . . . . *P. parvoviparus*

<sup>1</sup> Chez *P. pagumae*, d'après FAUST et TANG 1938.

BIBLIOGRAPHIE

- BYCHOWSKAJA-PAWLOWSKAJA, I. E. — (1953). La faune des Trématodes d'Oiseaux de la Sibérie occidentale et sa dynamique. *Recueil parasitol. Inst. zool. Acad. Sci. U.R.S.S.* **15** : 5-116, 67 fig. (en russe).
- DOLLFUS, R.-Ph. — (1935). Sur *Crocodylicola* et autres Hémistomes de Crocodiliens. *Arch. Mus. Hist. nat.*, 6<sup>e</sup> série, **12** : 637-646, 7 fig.
- DUBOIS, G. — (1938). Monographie des Strigeida (Trematoda). *Mém. Soc. neuch. Sc. nat.* **6** : 1-535, 354 fig.
- (1951). Nouvelle clé de détermination des groupes systématiques et des genres de *Strigeida* Poche (Trematoda). *Rev. suisse Zool.* **58** : 639-691, 9 fig.
- DUBOIS, G. et RAUSCH, R. — (1950a). A contribution to the study of North American Strigeids (Trematoda). *The Amer. Midl. Nat.* **43** : 1-31, 18 fig.
- (1950b). Troisième contribution à l'étude des *Strigeides* (Trematoda) nord-américains. *Bull. Soc. neuch. Sc. nat.* **73** : 19-50, 16 fig.
- FAUST, E. C. et TANG, C. C. — (1938). Report on a collection of some Chinese Cyathocotylidae (Trematoda, Strigeoidea). *Livr. Jub. Prof. Travassos*, p. 157-168, 2 pl.
- KRAUSE, R. — (1914). Beitrag zur Kenntnis der Hemistominaen. *Z. wiss. Zool.* **112** : 93-238, fig. A-C<sub>3</sub> et pl. 6.
- VIDYARTHI, R. D. — (1938). New avian Trematodes (Family Diplostomidae) from Indian Birds. *Proc. Nat. Acad. Sci. India* **8** : 76-84, 4 fig.
- YAMAGUTI, S. — (1935). Studies on the Helminth Fauna of Japan. Part 5. Trematodes of Birds, III. *Japan. Journ. Zool.* **6** : 159-182, 17 fig.
-